

## ЛИТЕРАТУРА

1. Работников Ю. Н. Элементы наследственной механики твердых тел. М.: Наука, 1977. 383 с.
2. Локшин А. А., Суворова Ю. В. Математическая теория распространения волн в средах с памятью. М.: Изд-во МГУ, 1982. 151 с.
3. Кукуджанов В. Н. Распространение сферических волн в упруговязкой среде. — Инж. журн., 1963, т. 3, № 3, с. 472—481.
4. Chu B. T. Stress waves in isotropic linear viscoelastic materials. — J. Mech., 1962, v. 1, No. 4, p. 439—461.
5. Арнольд В. И., Варченко А. Н., Гусейн-Заде С. М. Особенности дифференцируемых отображений. Т. 2. М.: Наука, 1984. 335 с.
6. Гилмор Р. Прикладная теория катастроф. Кн. 1. М.: Мир, 1984. 350 с.
7. Корн Г., Корн Т. Справочник по математике для научных работников и инженеров. М.: Наука, 1984. 831 с.

Москва

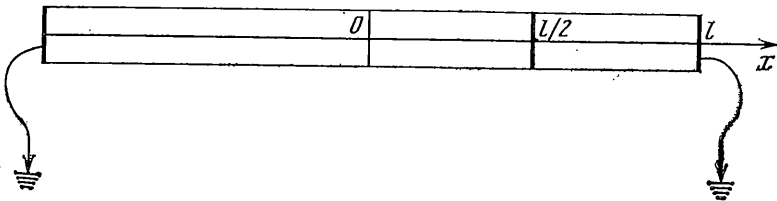
Поступила в редакцию  
19.XI.1985

УДК 539.3

## О СОУДАРЕНИИ ПЬЕЗОКЕРАМИЧЕСКИХ СТЕРЖНЕЙ

ЛЕ ХАНЬ ЧАУ

Рассмотрим одинаковые пьезокерамические стержни, предварительно поляризованные по своим осям. На свободных торцах стержней имеются электроды, которые электрически заземлены. В середине первого стержня вставлен электрод, жестко соединенный с ним. Пусть на первый стержень, расположенный на оси  $x$  в интервале  $0 < x < l$ , движется по положительному направлению этой же оси  $x$  второй стержень со скоростью  $v_0$ . В момент  $t=0$  оба стержня соударяются (фиг. 1). Нужно найти



Фиг. 1

электроупругое напряженное состояние стержней при  $t>0$  и продолжительность удара. Согласно [1], движение стержней описывается уравнениями

$$\rho u_{,tt} = c_h u_{,xx} + e_h \psi_{,xx} \quad e_h u_{,xx} = \varepsilon_h \psi_{,xx} \quad (1)$$

где  $u$  — смещение стержней,  $\psi$  — электрический потенциал,  $\rho$  — плотность,  $c_h$ ,  $e_h$ ,  $\varepsilon_h$  — одномерные модули электроупругости стержней. На торцах стержней  $x=\pm l$  должны быть выполнены условия свободного края и электрического заземления

$$c_h u_{,x} + e_h \psi_{,x} = 0, \quad \psi = 0 \quad (x = \pm l) \quad (2)$$

На контактирующих торцах стержней  $x=0$  формулируются условия непрерывности перемещений, электрического потенциала, напряжений и электрической индукции

$$\begin{aligned} u(-0) &= u(+0), \quad \psi(-0) = \psi(+0), \quad (c_h u_{,x} + e_h \psi_{,x})|_{x=0-} = \\ &= (c_h u_{,x} + e_h \psi_{,x})|_{x=+0}, \\ (e_h u_{,x} - \varepsilon_h \psi_{,x})|_{x=-0} &= (e_h u_{,x} - \varepsilon_h \psi_{,x})|_{x=+0} \end{aligned} \quad (3)$$

Кроме того, решения могут иметь разрывы, тогда в точках разрыва должны выполняться условия непрерывности смещения, потенциала электрической индукции и следующее динамическое условие:

$$V[\rho u_{,t}] = [c_h u_{,x} + e_h \psi_{,x}] \quad (4)$$

где  $V$  — скорость фронта разрыва,  $[A] = A_+ - A_-$ . Постановка задачи завершается заданием начальных условий

$$u|_{t=0}=0 \quad (-l < x < l), \quad u_{,t}|_{t=0}=v_0 \quad (-l < x < 0), \quad u_{,t}|_{t=0}=0 \quad (0 < x < l) \quad (5)$$

Для решения поставленной задачи (1)–(5) сначала нужно выразить  $\psi$  через  $u$ . Из (1)–(3) следует, что

$$\psi = (e_h/\varepsilon_h) \{u - [u(l) - u(-l)]x/2l - [u(l) + u(-l)]/2\} \quad (6)$$

Подставив (6) в соотношения (1)–(5), получим

$$\rho u_{,tt} = c u_{,xx}, \quad c = c_h + e_h^2 / \varepsilon_h \quad (7)$$

$$c u_{,x} - e_h^2 [u(l) - u(-l)] / (2l\varepsilon_h) = 0 \quad (x = \pm l) \quad (8)$$

$$u(-0) = u(+0), \quad c u_{,x}|_{x=-0} = c u_{,x}|_{x=+0} \quad (9)$$

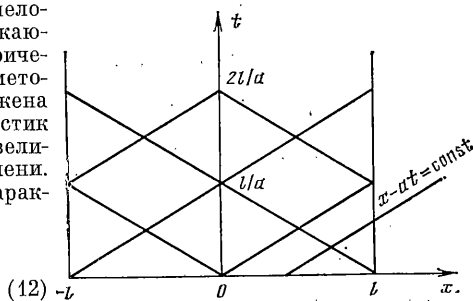
$$u|_{t=0} = 0 \quad (-l < x < l), \quad u_t|_{t=0} = v_0 \quad (-l < x < 0), \quad u_t|_{t=0} = 0 \quad (0 < x < l) \quad (10)$$

и следующее условие на разрыве

$$V[\rho u_{,t}] = [c u_{,x}] \quad (11)$$

Задача (7)–(11) напоминает обычную задачу о соударении упругих стержней. Единственное различие заключается в «нелокальном» граничном условии (8), возникающем за счет дальнодействующего электрического поля. Задача (7)–(11) решается методом характеристик [2]. На фиг. 2 изображена плоскость  $(x, t)$  с системой характеристик  $x \pm at = \text{const}$ ,  $a = (c/\rho)^{1/2}$ . Сначала найдем величину  $u(l) - u(-l) = f(t)$  как функцию времени. При  $t \leq l/a$  с помощью инвариантов на характеристиках легко видеть, что

$$(u_{,t} - au_{,x})|_{x=l} = 0, \quad (u_{,t} + au_{,x})|_{x=-l} = v_0 \quad (12)$$



Фиг. 2

Заменим в (12)  $u_{,x}|_{x=\pm l}$  согласно (8).

Вычитая из первого уравнения (12) второе, получим

$$[u(l) - u(-l)]_t - (ak^2/l)[u(l) - u(-l)] = -v_0$$

$$k^2 = e_h^2 / (c\varepsilon_h), \quad [u(l) - u(-l)]|_{t=0} = 0$$

Отсюда следует, что при  $t \leq l/a$  имеет место

$$f(t) = [lv_0/(ak^2)][1 - \exp(-ak^2t/l)] \quad (13)$$

Аналогично, при  $l/a \leq t \leq 2l/a$  имеем  $(u_{,t} - au_{,x})|_{x=l} = v_0$ ,  $(u_{,t} + au_{,x})|_{x=-l} = 0$ , следовательно

$$f_t - (ak^2/l)f = v_0, \quad f|_{t=l/a} = [lv_0/(ak^2)][1 - \exp(-k^2)] \quad (14)$$

Решение уравнения (14) имеет вид

$$f(t) = [lv_0/(ak^2)][2 \exp(-k^2) \exp(ak^2t/l) - \exp(ak^2t/l) - 1] \quad (15)$$

Обратимся к уравнению (7). Его общее решение имеет вид

$$u = F_1(at-x) + F_2(at+x) \quad (16)$$

Из (8) следует, что  $u_{,x}|_{x=-l} = u_{,x}|_{x=l}$ , поэтому  $-F'_1(at+l) + F'_2(at-l) = -F'_1(at-l) + F'_2(at+l)$ . Это означает, что функция  $g'(\zeta) = F'_1(\zeta) + F'_2(\zeta)$  периодична по  $\zeta$  с периодом  $2l$ ,  $\zeta > -l$ . Найдем  $g'(\zeta)$  на отрезке  $(-l, l)$ . Из начальных условий (10) следует, что

$$-F'_1(-x) + F'_2(x) = 0, \quad -l < x < l, \quad a(F'_1(-x) + F'_2(x)) = \begin{cases} v_0, & -l < x < 0 \\ 0, & 0 < x < l \end{cases}$$

Отсюда найдем значение функций  $F'_1(\zeta)$ ,  $F'_2(\zeta)$  на интервале  $-l < \zeta < l$

$$F'_1(\zeta) = \begin{cases} v_0/(2a), & 0 < \zeta < l \\ 0, & -l < \zeta < 0 \end{cases}, \quad F'_2(\zeta) = \begin{cases} 0, & 0 < \zeta < l \\ v_0/(2a), & -l < \zeta < 0 \end{cases}$$

Итак, на отрезке  $(-l, l)$   $g'(\zeta) = v_0/(2a)$ . В силу периодичности  $g'(\zeta) = v_0/(2a)$  при всех  $\zeta > -l$ . Таким образом, решение задачи можно представить в следующем виде

$$u = F(at-x) - F(at+x) + (v_0/2a)(at+x), \quad F(\zeta) = F_1(\zeta) \quad (17)$$

Решение будет полностью построено, если известна функция  $F(\zeta)$  при  $\zeta > -l$ . Выше  $F'(\zeta)$  найдена в интервале  $(-l, l)$ . Определим ее при  $\zeta > l$ . Из граничного условия (8) на правом свободном торце следует, что  $-F'(at-l) - F'(at+l) + v_0/(2a) = k^2 f(t)/(2l)$ . Из этого уравнения, зная  $f(t)$  и  $F'(at-l)$ , можно определить  $F'(at+l)$  последовательно для интервалов  $0 < at < l$ ,  $l < at < 2l$ ,  $2l < at < 3l$  и так далее.

Опуская вычисления, приведем результаты:

$$F'(\zeta) = [v_0/(2a)] \exp[k^2(\zeta-l)/l], \quad l < \zeta < 2l \quad (18)$$

$$F'(\zeta) = [v_0/(2a)] \{2 - \exp[k^2(\zeta-3l)/l] + \exp[k^2(\zeta-l)/l] - 2 \exp[k^2(\zeta-2l)/l]\}, \quad 2l < \zeta < 3l \quad (19)$$

Можно найти значения  $F'(\xi)$  и в последующих интервалах. Но найденных значений  $F'(\xi)$  на интервале  $(-l, 3l)$  уже достаточно для нахождения момента отрыва стержней (продолжительности удара). Он определяется как момент  $T$ , при котором величина  $u_{xx}|_{x=0}$  обращается в нуль или же меняет свой знак. Согласно (17), имеем  $u_{xx}|_{x=0}=v_0/(2a)-2F'(at)$ . Вычисляя  $u_{xx}|_{x=0}$  по этой формуле, получим следующие результаты:

$$u_{xx}|_{x=0} < 0, \quad 0 < at < 2l, \quad u_{xx}|_{x=0} = (v_0/2a) \{ 2 \exp [k^2(at-3l)/l] - 3 - 2 \exp [k^2(at-l)/l] + 4 \exp [k^2(at-2l)/l] \}, \quad 2l < at < 3l \quad (20)$$

Устремляя  $t \rightarrow 2l/a+0$ , получим в пределе

$$u_{xx}|_{x=0} \rightarrow [v_0/(2a)] [1 + 2 \exp(-k^2) - 2 \exp(k^2)]$$

Непосредственной проверкой можно убедиться в том, что это выражение всегда больше нуля, если  $0 < k^2 < 0.24$ . Значит, при малых коэффициентах электромеханической связи  $k^2 = e_h^2/(ce_h)$ , удовлетворяющих этому неравенству, продолжительность удара определяется по классической теории соударения стержней  $T=2l/a$ . При  $k^2 > 0.24$ :  $T=l(2+\delta)/a$ , где  $\delta$  — функция от  $k^2$ . Нахождение функции  $\delta(k^2)$  связано с нахождением нуля выражения, стоящего в правой части последнего соотношения (20).

В отличие от классической теории, в рассматриваемой задаче кинетическая энергия ударяющего стержня после соударения не полностью переходит в кинетическую энергию ударяемого стержня. Часть этой кинетической энергии запасена во внутренних энергиях обоих стержней, что вызывает их вибрацию после соударения.

Вычислим теперь разность электрических потенциалов на электродах ударяемого стержня в процессе соударения. По формуле (6) находим

$$\psi(l) - \psi(l/2) = (e_h/e_h) \{ -u(l/2) + [u(l) - u(-l)]/4 + [u(l) + u(-l)]/2 \} \quad (21)$$

Для вычисления разности потенциалов по (21) нужно знать величины  $u(l) - u(-l)$ ,  $u(l) + u(-l)$  и  $u(l/2)$ . Величина  $u(l) - u(-l) = f(t)$  уже найдена (формулы (13), (15)). Для величины  $u(l) + u(-l)$  имеем  $u(l) + u(-l) = v_0 t$ ,  $0 < at < 2l$ . Для величины же  $u(l/2)$  из (17) следует, что  $u(l/2) = F(at-l/2) - F(at+l/2) + v_0(at+l/2)/(2a)$ .

Таким образом, если известна  $F(\xi)$ , то  $u(l/2)$  также можно найти. Функция  $F(\xi)$  находится по ее производной  $F'(\xi)$  (см. (18), (19)). Опуская вычисления, приведем значения разности потенциалов  $\psi(l) - \psi(l/2) = (e_h/e_h) \{ v_0 l [-\exp(ak^2 t/l) + 1]/(4ak^2) + v_0 t/2 \}$ ,  $0 < t < l/(2a)$ ,  $\psi(l) - \psi(l/2) = (e_h/e_h) \{ v_0 l/(4a) + v_0 l [1 - \exp(ak^2 t/l)]/(4ak^2) \}$ ,  $l/(2a) < t < l/a$ .

Производная от  $\psi(l) - \psi(l/2)$  по  $t$  равна  $e_h v_0 [2 - \exp(ak^2 t/l)]/(4e_h)$  при  $0 < t < l/(2a)$  и  $-e_h v_0 \exp(ak^2 t/l)/(4e_h)$  при  $l/(2a) < t < l/a$ . Она никогда не обращается в нуль во внутренних точках интервалов  $(0, l/2a)$  и  $(l/2a, l/a)$ . Следовательно,  $\psi(l) - \psi(l/2)$  достигает максимума либо при  $t=0$ , либо при  $t=l/(2a)$ , либо при  $t=l/a$ . Легко проверить, что максимум достигается при  $t=l/(2a)$  (четверть продолжительности соударения) и

$$\max[\psi(l) - \psi(l/2)] = e_h v_0 l \{ 1 + [1 - \exp(k^2/2)]/k^2 \}/(4a e_h) = e_h v_0 l/(8e_h a) + O(k^2) \quad (22)$$

Полученные результаты позволяют предложить следующую методику экспериментального измерения модулей электроупругости пьезокерамики (при малых  $k^2$ ). Сначала статическим путем определяется  $l$ ,  $\rho$ ,  $e_h$ ; по измеренной продолжительности удара  $T$ , определяются  $a$  и  $c$  по формуле  $T=2l/a$ . Наконец, измеряя максимум разности потенциала, можно найти  $e_h$  и  $k^2$  по формуле (22). Такая методика отличается от традиционной, основанной на измерении частот резонанса и антирезонанса [3], и может дополнить ее в качестве проверочной процедуры.

Отметим, что аналогичная задача об ударе тяжелым жестким телом по пьезокерамическому стержню с заделанным торцом решена в [4].

## ЛИТЕРАТУРА

- Физическая акустика. Т. 1. Ч. А. М.: Мир, 1966. 592 с.
- Лья А. Математическая теория упругости. М.: ОНТИ, 1935. 674 с.
- Мэзон У. Пьезоэлектрические кристаллы и их применения в ультраакустике. М.: Изд-во иностр. литер., 1952. 447 с.
- Кулиев Ю. Н. Рахматуллин Х. А. Продольный удар по пьезоэлектрическому стержню. — Изв. АН СССР. МТТ, 1972, № 5, с. 117—122.

Вьетнам

Поступила в редакцию  
14.X.1985